



جامعة شهرورد
دانشگاه

طرح فناورانه انژکتور

معاونت پژوهشی سازمان

نام فایل سند	عنوان سند	صفحه	بازنگری
شناسایی انژکتورهای موجود	شناسایی انژکتورهای موجود	۱۶۱ از ۷۰	۳

فصل ۳: آنالیز مواد اولیه



جامعة شهروود
دانشگاه

طرح فناورانه انژکتور

معاونت پژوهشی سازمان

نام فایل سند	عنوان سند	صفحه	بازنگری
شناسایی انژکتورهای موجود	شناسایی انژکتورهای موجود	۱۶۱ از ۷۱	۳

۱-۳ مقدمه

در این قسمت گزارش آنالیز کلی انژکتورها، فراهم می‌شود. این گزارش برای دو انژکتور سولارگروپ و زیستک فراهم شده و در ادامه، نتایج مربوط به بخش‌های حساس سایر انژکتورها نیز گزارش می‌شود.

۲-۳ آنالیز مواد اولیه انژکتور سولارگروپ

۱-۲-۳ پوسته سیم پیچ



شکل ۳-۱: عکس برش خورده از پوسته سیم پیچ در نماهای مختلف

❖ نتایج شناسایی خواص و جنس

ترکیب شیمیایی قطعه با انجام آنالیز شیمیایی توسط کوانتمتر به شرح جدول ۱-۳ به دست آمده است. با توجه به ترکیب شیمیایی زیر، جنس پوسته از فولاد زنگ نزن مارتزیتی ۴۱۶ می‌باشد. همچنین نتایج کوانتمتری نیز در جدول ۲-۳ فراهم شده است.



جهاز اکادمی ساخته شد

طرح فناورانه انژکتور

معاونت پژوهشی سازمان

صفحه	بازنگری	عنوان سند	نام فایل سند
۳	۱۶۱ از ۷۲	شناسایی انژکتورهای موجود	شناسایی انژکتورهای موجود

جدول ۳-۱: نتایج شناسایی کلی پوسته سیم پیچ

جنس	سختی HV _{0.3}	ریزساختار	پوشش حرارتی	سیکل عملیات	نوع اتصال	روش تولید
215	416	مارتنزیت با دانه های هم محور 10 ASTM و مقدار زیادی سولفید کشیده در راستای طولی قطعه و بدون تغییر جهت در تغییر مقاطع	-	آنیل	پرس	ماشینکاری

جدول ۳-۲: نتایج کوانتمتری پوسته سیم پیچ

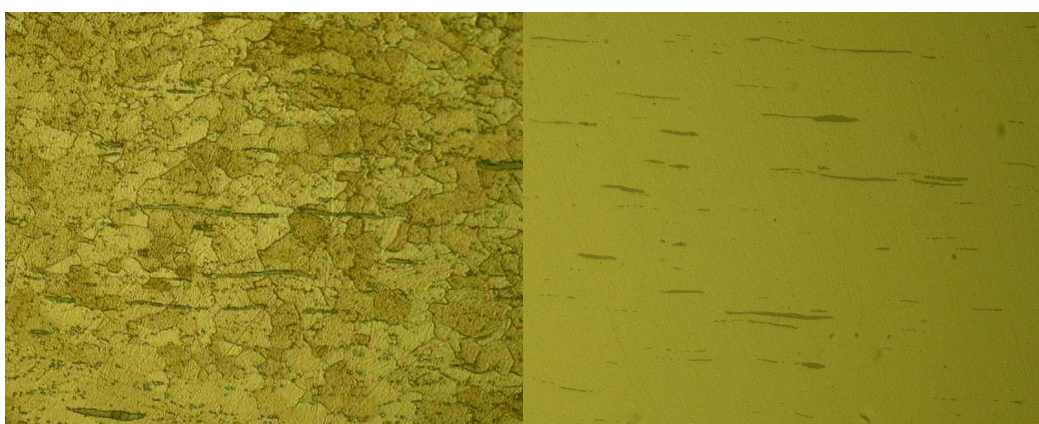
Fe	C	Si	Mn	P	S	Cr	Ni	Mo
Base	0.129	0.318	1.22	0.0171	0.222	13.19	0.0876	0.023
Al	Co	Cu	Nb	Ti	V	W	Pb	Sn
0.0042	0.0259	0.0178	0.0023	< 0.00020	0.0805	0.0009	0.0077	< 0.00050
Ca	Ta	B	---	---	---	---	---	---
0.0025	0.0111	0.0018	---	---	---	---	---	---

❖ سختی ❖

میزان سختی اندازه‌گیری شده به کمک دستگاه میکروسختی و با نیروی ۳۰۰ گرم از سطح مقطع نمونه ۲۱۵ و بکرز است.

❖ ریزساختار ❖

ریز ساختار، شامل مارتنزیت تمپر بالا با دانه های هم محور با اندازه ۱۰ ASTM و مقدار زیادی ذرات سولفید منگنز با کشیدگی در جهت کار مکانیکی است.



شکل ۳-۲: تصاویر قبل و بعد از اج ریزساختار پوسته سیم پیچ در بزرگنمایی ۲۰۰ برابر

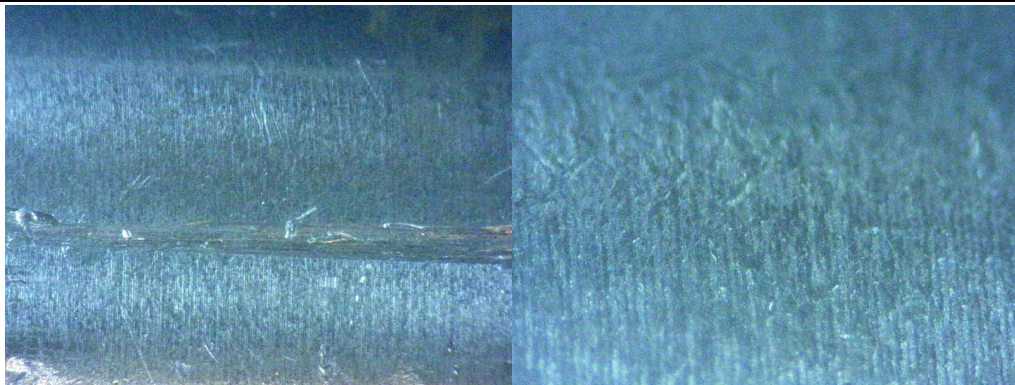


جهاز اکتشافی مخصوصیت

طرح فناورانه انژکتور

معاونت پژوهشی سازمان

صفحه	بازنگری	عنوان سند	نام فایل سند
۳	۱۶۱ از ۷۳	شناسایی انژکتورهای موجود	شناسایی انژکتورهای موجود



شکل ۳-۳: خطوط ماشینکاری مشاهده شده بر روی سطح پوسته سیم پیچ

۴-۲-۳ سیم پیچ



شکل ۳-۴: تصویر یک نیمه سیم پیچ پس از برش

❖ نتایج شناسایی خواص و جنس

جدول ۳-۳: نتایج شناسایی سیم پیچ

روش تولید	نوع اتصال	سیکل عملیات حرارتی	پوشش	ریزساختار	سختی HV _{0.3}	جنس
سیم پیچی	اتصال سیم به ترمینال: احتمالاً با لحیم	-	لاک با ضخامت ۸ میکرون	قطر سیم: ۱۵۰ میکرون، تعداد دوره: ۷، تعداد رشتہ: ۵۷، لایه رزین داخلی: ۳۳۰ میکرون، عرض سیم پیچ: ۱۲۰ میکرون	۷۶ سختی رزین: ۸۰ shore D	C10300 رزین اطراف سیم پیچ: پلی آمید ۶ (PA6)



جهازهایی ساخته شد

طرح فناورانه انژکتور

معاونت پژوهشی سازمان

صفحه	بازنگری	عنوان سند	نام فایل سند
۳	۱۶۱ از ۷۴	شناسایی انژکتورهای موجود	شناسایی انژکتورهای موجود

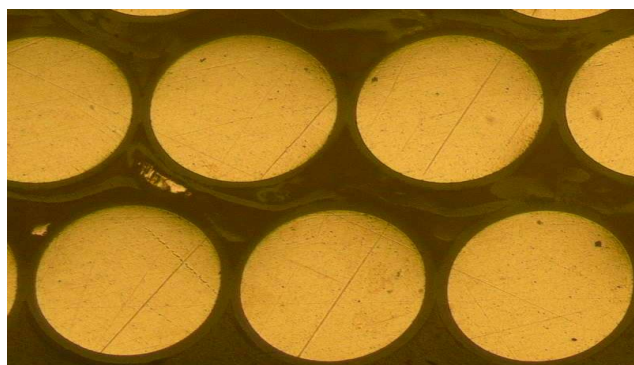
سیم‌ها توسط سیستم EPMA میکروسکوپ الکترونی روبشی آنالیز شده و مشخص گردید که جنس سیمهای از مس خالص بوده و یک لایه لاکی به ضخامت ۸ میکرون نیز سیم‌ها را پوشش داده است. همچنین سیم‌بیچ به عرض ۱۲۰ میکرون به دور یک قرقره از جنس پلی آمید ۶ شفاف به ضخامت ۳۳۰ میکرون پیچیده شده و اطراف آن را با کاوری از جنس پلی آمید ۶ مشکی به ضخامت ۸۴۰ میکرون پر شده است.

❖ سختی ❖

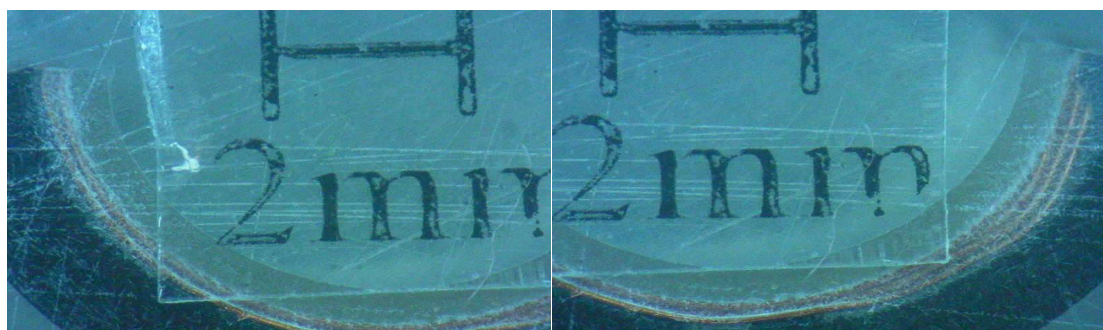
میزان سختی اندازه‌گیری شده به کمک دستگاه میکروسختی و با نیروی ۳۰۰ گرم از سطح مقطع نمونه ۷۶ ویکرز است.

❖ ریز ساختار ❖

با بررسی‌های انجام شده توسط میکروسکوپ نوری مشخص گردید که قطر سیم‌های مسی ۱۵۰ میکرون، ضخامت لاق اطراف آن، ۸ میکرون، تعداد ردیف یا به عبارتی تعداد دور سیم، ۷ دور بوده و بیشترین تعداد سیم در یک ردیف یا به عبارتی تعداد رشته سیم، ۵۷ رشته می‌باشد.



شکل ۳-۵: سیم‌بیچ با لایه‌ی لاکی اطراف آن



شکل ۳-۶: تصاویر دو انتهای مقطع عمود بر محور طولی سیم‌بیچ



جهازهایی مساخته شده

طرح فناورانه انژکتور

معاونت پژوهشی سازمان

نام فایل سند	عنوان سند	صفحه	بازنگری
شناسایی انژکتورهای موجود	شناسایی انژکتورهای موجود	۱۶۱ از ۷۵	۳



شکل ۳-۷: تصویر کل مقطع سیم پیچ



شکل ۳-۸: تصاویر دو انتهای و قسمت میانی مقطع موازی با محور طولی سیم پیچ

۳-۲-۳ ترمینال‌ها



(ب)

(الف)

شکل ۳-۹: ترمینال الف: با پوشش پلاستیکی ب: پس از برداشتن پوشش پلاستیکی

❖ نتایج شناسایی خواص و جنس

تسمه ترمینال با استفاده از سیستم EPMA میکروسکوپ الکترونی روبشی آنالیز گردید و جنس نمونه مس خالص با پوششی از جنس قلع تشخیص داده شد. همچنین پس از آنالیز مشخص گردید که پوشش پلیمری این ترمینال در واقع کل بدنه، از جنس پلی آمید ۶ می‌باشد.



طرح فناورانه انژکتور

معاونت پژوهشی سازمان

جهازهای مساخته شده

نام فایل سند	عنوان سند	صفحه	بازنگری
شناسایی انژکتورهای موجود	شناسایی انژکتورهای موجود	۱۶۱ از ۷۶	۳

جدول ۳-۴: نتایج شناسایی ترمینال‌ها

نوع اتصال	روش تولید	سیکل عملیات حرارتی	پوشش	ریزساخтар	جنس	سختی HV _{0.3}
نورد- بش-	-	لحیم	-	قلع: ۱ میکرون	تک فاز آلفا با دوقلویی و آثار کار مکانیکی	۱۲۴ C10300

❖ سختی ❖

میزان سختی اندازه‌گیری شده به کمک دستگاه میکروسختی با نیروی ۳۰۰ گرم از سطح مقطع نمونه ۱۲۴ ویکرز است.

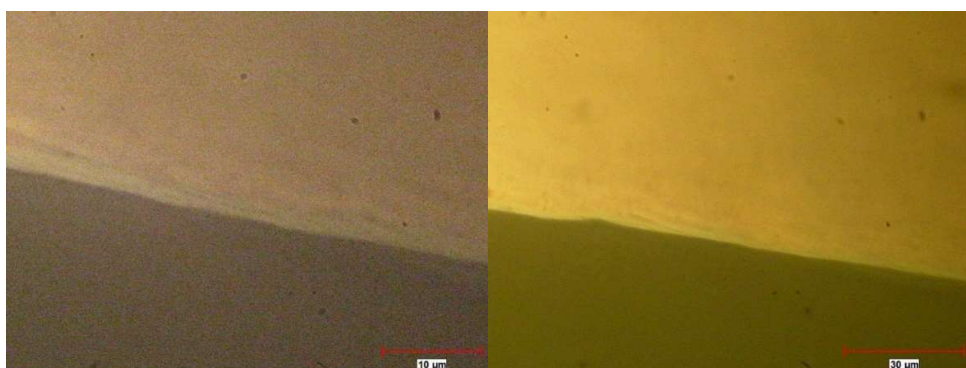
❖ ریزساخтар ❖

ریز ساختار ترمینال، شامل تک فاز آلفا با دو قلویی و آثار کار مکانیکی می‌باشد.



شکل ۳-۱۰: تصاویر ریزساخтар ترمینال در بزرگنمایی‌های ۱۰۰ و ۲۵۰ برابر

همچنین پوششی از جنس قلع به ضخامت حدود یک میکرون در سطح نمونه مشاهده شده است.



شکل ۳-۱۱: تصاویر ریزساخтар ترمینال در بزرگنمایی‌های ۴۰۰ و ۱۰۰۰ برابر



جهازهایی مخصوص
جهاد دانشگاهی

طرح فناورانه انژکتور

معاونت پژوهشی سازمان

نام فایل سند	عنوان سند	صفحه	بازنگری
شناسایی انژکتورهای موجود	شناسایی انژکتورهای موجود	۱۶۱ از ۷۷	۳

۳-۲-۴ لوله اصلی



شکل ۳-۲: تصاویر کامل و برش خورده‌ی لوله اصلی

❖ نتایج شناسایی خواص و جنس

نتایج شناسایی خواص و جنس به صورت جدول ۳-۵ به دست آمده است. ترکیب شیمیایی لوله با انجام آنالیز شیمیایی توسط کوانتمتر به شرح جدول ۳-۶ است. با توجه به ترکیب شیمیایی زیر جنس پوسته از فولاد زنگ نزن آستنیتی ۳۰۴ می‌باشد.

جدول ۳-۵: نتایج شناسایی لوله اصلی

جنس	HV _{0.3}	سختی	ریزساختار	پوشش	حرارتی	سیکل عملیات	روش تولید	نوع اتصال	روش
304	365	آستنیتی با دوقلویی و آثار کار مکانیکی شدید	-	-	-	-	کشش-پرس	کشش	کشش

جدول ۳-۶: نتایج کوانتمتری لوله اصلی

Fe	C	Si	Mn	P	S	Cr	Ni	Mo
Base	0.0668	0.366	1.14	0.0291	0.0054	18.4	8.3	0.0368
Al	Co	Cu	Nb	Ti	V	W	Pb	Sn
0.0088	0.251	0.254	0.0118	0.0065	0.0979	< 0.00050	0.0057	0.0021
Ca	Ta	B	---	---	---	---	---	---
0.0019	0.0042	0.0018	---	---	---	---	---	---



جهازهایی مخصوص

طرح فناورانه انژکتور

معاونت پژوهشی سازمان

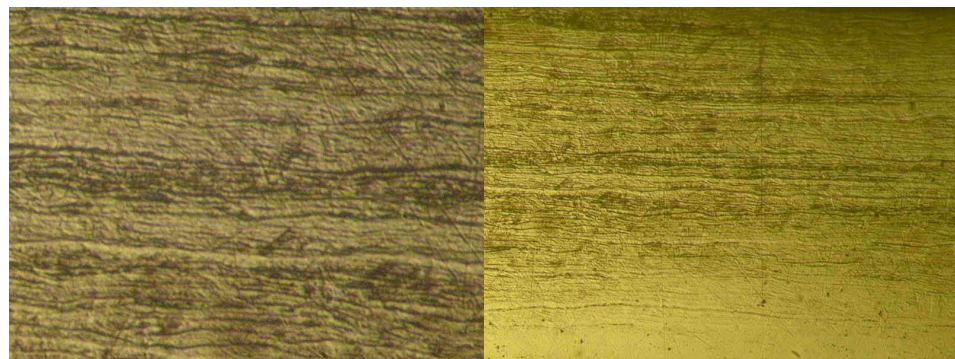
صفحه	بازنگری	عنوان سند	نام فایل سند
۳	۱۶۱ از ۷۸	شناسایی انژکتورهای موجود	شناسایی انژکتورهای موجود

❖ سختی

میزان سختی اندازه‌گیری شده به کمک دستگاه میکروسختی با نیروی 300 g از سطح مقطع 365 ویکرز است.

❖ ریز ساختار

ریز ساختار، شامل مارتینزیت استحاله یافته از آستینیت با کار مکانیکی شدید و دوقلویی است.



شکل ۳-۱۳: تصاویر ریز ساختار لوله اصلی از راست بزرگنمایی 100 و 25 برابر

❖ ۳-۲-۵ حلقه دور لوله اصلی



شکل ۳-۱۴: تصویر بخشی از حلقه دور لوله اصلی

❖ نتایج شناسایی خواص و جنس

جدول ۳-۷: نتایج شناسایی حلقه دور لوله اصلی

جنس	HV _{0.3}	سختی	ریزساختار	پوشش	سیکل عملیات حرارتی	نوع اتصال	روش تولید
Ck 5	۱۰۲	دانه های کشیده فریت ۷ ASTM	-	-	-	نورد-برش	TIG Welding



جامعة شهروود
جامعة علمی تحقیقی

طرح فناورانه انژکتور

معاونت پژوهشی سازمان

صفحه	بازنگری	عنوان سند	نام فایل سند
۳	۱۶۱ از ۷۹	شناسایی انژکتورهای موجود	شناسایی انژکتورهای موجود

ترکیب شیمیایی حلقه با انجام آنالیز شیمیایی توسط کوانتمتر به شرح جدول ۸-۳ بدست آمده است. با توجه به ترکیب شیمیایی زیر جنس پوسته از فولاد Ck ۵ می‌باشد. جوش حلقه به لوله توسط سیستم EPMA میکروسکوپ الکترونی به شرح جدول ۹-۳ آنالیز شده است. به منظور جوش لوله زنگ نزن ۳۰۴ به حلقه فولاد کربنی ساده بهتر است از سیم جوش ER309/309L و یا ER308/308L به روش TIG استفاده شود؛ لکن ترکیب شیمیایی فوق نشان دهنده استفاده از سیم جوش ER304 می‌باشد.

جدول ۸-۳: نتایج آنالیز شیمیایی حلقه دور لوله اصلی

Fe	C	Si	Mn	P	S	Cr	Ni	Mo
Base	0.0571	0.0342	0.239	0.0095	0.0087	0.0131	0.0106	0.0033
Al	Co	Cu	Nb	Ti	V	W	Pb	Sn
0.0288	0.0013	0.0086	0.0019	0.0034	0.0027	0.004	< 0.00020	0.0015
As	Zr	Ca	Ta	B	Zn	Fe	---	---
0.0031	0.0035	0.001	< 0.0010	0.0013	0.0187	99.56	---	---

جدول ۹-۳: نتایج آنالیز شیمیایی جوش حلقه به لوله اصلی

Fe	Cr	Ni	Mn	Si
Base	16-17	6-7	0.5-1	0.3

❖ سختی ❖

میزان سختی اندازه‌گیری شده به کمک دستگاه میکروسختی با نیروی ۳۰۰ گرم از سطح مقطع ۱۰۲ ویکرز است.

❖ ریزساختار ❖

شامل فریت با آثار کار مکانیکی است.



شکل ۱۵-۳: تصاویر ریزساختار به ترتیب در بزرگنمایی‌های ۵۰ و ۱۰۰ برابر

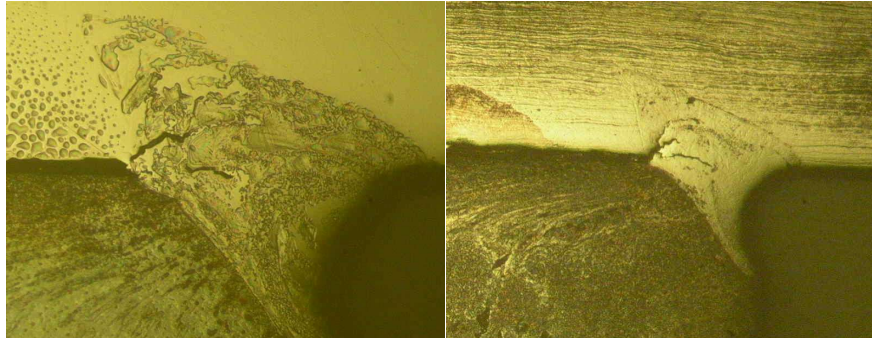


جامعة شهروود
دانشگاه

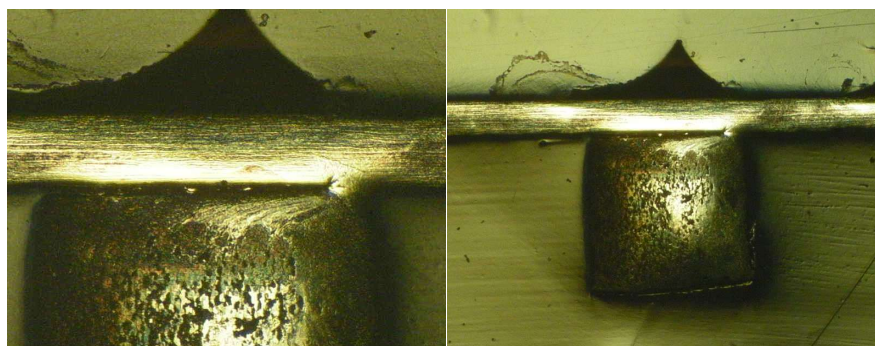
طرح فناورانه انژکتور

معاونت پژوهشی سازمان

نام فایل سند	عنوان سند	صفحه	بازنگری
شناسایی انژکتورهای موجود	شناسایی انژکتورهای موجود	۱۶۱ از ۸۰	۳



شکل ۱۶-۳: همانگونه که در تصاویر در بزرگنمایی ۵۰ و ۱۰۰ برابر دیده می شود، جوش دارای ترکهایی در قسمت ریشه و درون جوش است که باعث کاهش کیفیت و استحکام جوش شده است



شکل ۱۷-۳: جوش حلقه به دور لوله‌ی اصلی به روش TIG

۶-۲-۳ بدنه سوزن



شکل ۱۸-۳: تصویر بدنه سوزن به همراه ساقمه



جهازهایی سختی های

طرح فناورانه انژکتور

معاونت پژوهشی سازمان

صفحه	بازنگری	عنوان سند	نام فایل سند
۳	۱۶۱ از ۸۱	شناسایی انژکتورهای موجود	شناسایی انژکتورهای موجود

❖ نتایج شناسایی خواص و جنس

جدول ۳-۱: نتایج شناسایی بدنه سوزن

روش تولید	نوع اتصال	سیکل عملیات حرارتی	پوشش	ریزساختار	سختی HV _{0.3}	جنس
ماشینکاری	-	آنیل	-	زنگ نزن فریتی 8 ASTM	۱۵۵	410

جدول ۳-۱۱: نتایج آنالیز با SEM برای بدنه اصلی

Fe	Cr	Ni	Mn	Si
Base	10-12	----	≥ 0.5	0.3

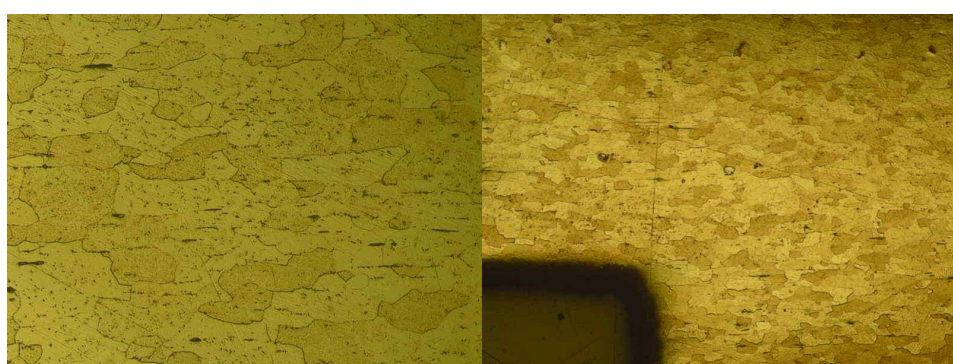
بدنه سوزن با استفاده از سیستم EPMA میکروسکوپ الکترونی روبشی آنالیز گردید و مشاهده شد که ترکیب شیمیایی فوق نزدیک به فولاد زنگ نزن فریتی ۴۱۰ می باشد.

❖ سختی

میزان سختی اندازه گیری شده به کمک دستگاه میکروسختی و با نیروی ۳۰۰ گرم از سطح مقطع نمونه ۱۵۵ ویکرز است.

❖ ریزساختار

شامل فریت با اندازه دانه ۸ ASTM به همراه مقدار زیادی ذرات سولفیدی با کشیدگی در جهت کار مکانیکی است.



شکل ۳-۱۹: تصاویر بدنه سوزن در بزرگنمایی های ۲۵ و ۱۰۰ برابر



جهازهای مهندسی

طرح فناورانه انژکتور

معاونت پژوهشی سازمان

صفحه	بازنگری	عنوان سند	نام فایل سند
۳	۱۶۱ از ۱۸۲	شناسایی انژکتورهای موجود	شناسایی انژکتورهای موجود

۷-۲-۳ ساقمه سوزن

❖ نتایج شناسایی خواص و جنس

جدول ۱۲-۳: نتایج شناسایی ساقمه سوزن

روش تولید	نوع اتصال	سیکل عملیات حرارتی	پوشش	ریزساختار	سختی HV0.3	جنس
ریختگی	TIG Welding	سخت گردانی	-	مقدار زیادی کاربید کروم در زمینه مارتنزیت تمپر شده	۶۴۲ جوش ساقمه و بدن: ۶۳۰ HAZ: ۷۶۶	440C

❖ جنس

ساقمه با استفاده از سیستم EPMA میکروسکوپ الکترونی روبشی به شرح جدول ۱۳-۳ آنالیز گردید. با توجه به ترکیب شیمیایی فوق نمونه از جنس فولاد زنگ نزن مارتنزیتی C۴۴۰ می‌باشد.

جدول ۱۳-۳: نتایج آنالیز ساقمه

Fe	Cr	Mn	Si
Base	18-19	≤ 0.5	0.3

❖ سختی

میزان سختی اندازه‌گیری شده به کمک دستگاه میکروسختی و با نیروی ۳۰۰ گرم از سطح مقطع نمونه ۶۴۲ ویکرز است.

❖ ریزساختار

ریز ساختار، شامل مقدار زیادی کاربید کروم در زمینه مارتنزیت تمپر شده است.

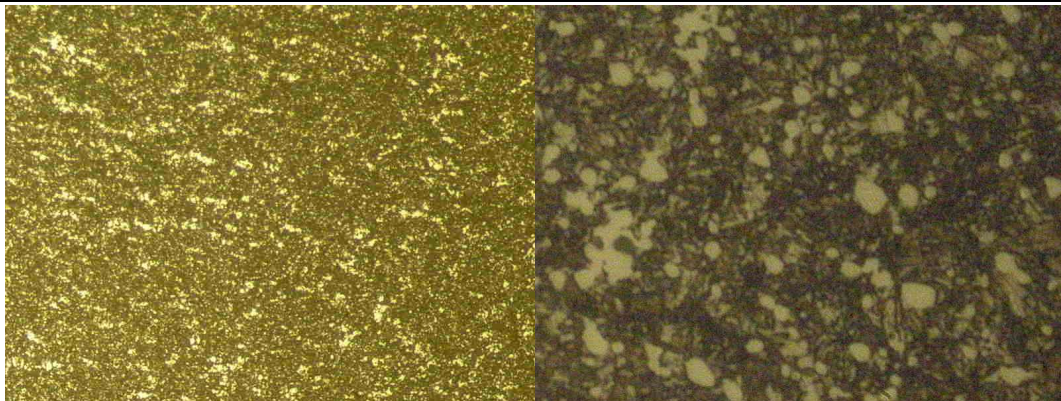


جهازهایی سختی سبی

طرح فناورانه انژکتور

معاونت پژوهشی سازمان

صفحه	بازنگری	عنوان سند	نام فایل سند
۱۶۱ از ۸۳	۳	شناسایی انژکتورهای موجود	شناسایی انژکتورهای موجود



شکل ۲۰-۳: ریزساختار ساقمه سوزن در بزرگنمایی های ۱۰۰ و ۱۰۰۰ برابر

۸-۲-۳ اتصال ساقمه به بدنه سوزن

❖ ریزساختار و سختی

جوش ساقمه به بدنه با استفاده از سیستم EPMA میکروسکوپ الکترونی روبشی به شرح جدول ۱۴-۳ آنالیز گردید. میزان سختی اندازه‌گیری شده برای جوش، به کمک دستگاه میکروسختی و با نیروی ۳۰۰ گرم از جوش ساقمه و بدنه ۶۳۰ ویکرز و از ناحیه HAZ جوش ۷۶۶ ویکرز است.

جدول ۱۴-۳: جوش ساقمه با بدنه

Fe	Cr	Mn	Si
Base	16	≤ 0.5	0.5



شکل ۲۱-۳: تصاویر جوش ساقمه به بدنه در بزرگنمایی های ۲۵ و ۱۰۰ برابر



جهازهای مخصوصی

طرح فناورانه انژکتور

معاونت پژوهشی سازمان

نام فایل سند	عنوان سند	صفحه	بازنگری
شناسایی انژکتورهای موجود	شناسایی انژکتورهای موجود	۱۶۱ از ۸۴	۳

۹-۲-۳ فنر



شکل ۳: تصویر فنر

❖ نتایج شناسایی خواص و جنس

جدول ۳: نتایج شناسایی فنر

جنس	سختی $HV_{0.3}$	ریزساختار	ثابت فنر (N/mm)	پوشش	سیکل عملیات حرارتی	نوع اتصال	روش تولید
304	565	مارتنزیت استحاله یافته از آستینیت در اثر کار مکانیکی	1.6025	-	-	-	کشش-فنر پیچی

فنر با استفاده از سیستم EPMA میکروسکوپ الکترونی روبشی به شرح جدول ۳ آنالیز شده است. با توجه به ترکیب شیمیایی زیر، نمونه از جنس فولاد زنگ نزن مارتنزیتی ۳۰۴ می‌باشد.

جدول ۳: نتایج آنالیز شیمیایی فنر

Fe	Cr	Ni	Mn	Si	Cu
Base	12-18	7-8	1	0.3	2

❖ سختی

سختی اندازه‌گیری شده به کمک دستگاه میکروسختی و با نیروی ۳۰۰ گرم از سطح مقطع نمونه ۵۶۵ ویکرز است.

❖ ریزساختار

ریز ساختار، شامل مارتنزیت استحاله یافته از آستینیت در اثر کار مکانیکی سرد است.



جامعة شهروود
دانشگاه

طرح فناورانه انژکتور

معاونت پژوهشی سازمان

صفحه	بازنگری
۱۶۱ از ۸۵	۳

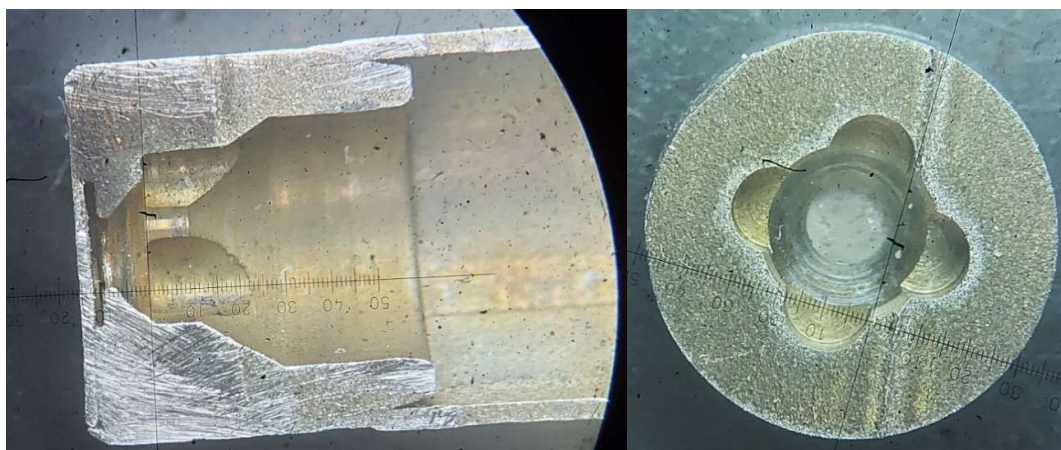


شکل ۲۳-۳: تصاویر ریز ساختار فنر در بزرگنمایی های ۵۰۰ و ۱۰۰۰ برابر

۱۰-۲-۳ نشیمنگاه سوزن



شکل ۲۴-۳: عکس نشیمنگاه سوزن



شکل ۲۵-۳: عکس های استریوگرافی نشیمنگاه سوزن در نماهای برش خورده عرضی (سمت راست) و طولی (سمت چپ)



جهازهایی سختی های

طرح فناورانه انژکتور

معاونت پژوهشی سازمان

صفحه	بازنگری	عنوان سند	نام فایل سند
۳	۱۶۱ از ۸۶	شناسایی انژکتورهای موجود	شناسایی انژکتورهای موجود

❖ نتایج شناسایی خواص و جنس

جدول ۱۷-۳: نتایج شناسایی نشیمنگاه سوزن

روش تولید	نوع اتصال	سیکل عملیات حرارتی	پوشش سخت گردانی	ریزساختار	سختی HV _{0.3}	جنس
ماشینکاری	Laser Welding	-	-	مقدار زیادی کاربید کروم در زمینه مارتنتزیت تمپر شده	۵۰۸ جوش: ۳۲۶	440C

ترکیب شیمیایی محفظه با انجام آنالیز شیمیایی توسط کوانتمتر به شرح جدول ۱۸-۳ بدست آمده است؛ با توجه به ترکیب شیمیایی زیر، جنس محفظه از فولاد زنگ نزن مارتنتزیتی 440c می‌باشد.

جدول ۱۸-۳: نتایج آنالیز شیمیایی نشیمنگاه سوزن

Fe	C	Si	Mn	P	S	Cr	Ni	Mo
Base	1.06	0.391	0.297	0.0185	0.0062	17.64	0.247	0.139
Al	Co	Cu	Nb	Ti	V	W	Pb	Sn
0.0607	0.0299	0.0598	0.0047	0.0056	0.0863	0.005	0.0023	0.0033
Ca	Ta	B	--	--	--	--	--	--
0.0019	< 0.0010	0.0013	--	--	--	--	--	--

❖ سختی

میزان سختی نشیمنگاه سوزن، اندازه‌گیری شده به کمک دستگاه میکروسختی و با نیروی ۳۰۰ گرم از سطح مقطع نمونه، ۵۰.۸ ویکرز است.

❖ ریزساختار

ریز ساختار، شامل مقدار زیادی کاربید کروم در زمینه مارتنتزیت تمپر شده است.

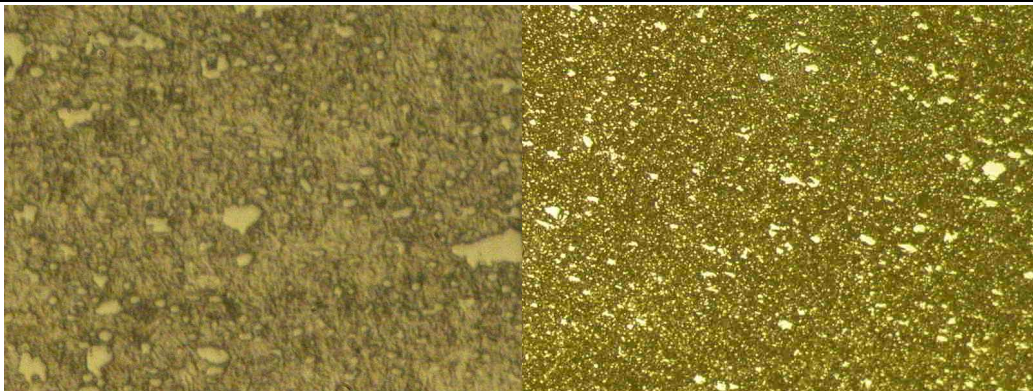


طرح فناورانه انژکتور

معاونت پژوهشی سازمان

جهازهای صنعتی

صفحه	بازنگری	عنوان سند	نام فایل سند
۳	۱۶۱ از ۱۸۷	شناسایی انژکتورهای موجود	شناسایی انژکتورهای موجود



شکل ۲۶-۳: تصاویر ریزساختار نشیمنگاه در بزرگنمایی های ۱۰۰ و ۵۰۰ برابر

۱۱-۲-۳ صفحه پاشش

❖ نتایج شناسایی خواص و جنس

جدول ۱۹-۳: نتایج شناسایی صفحه پاشش

جنس	HV _{0.3}	استحالة	پوشش حرارتی	سیکل عملیات	روش تولید	نوع اتصال
304	236	آستینیت همراه با مارتنزیت استحالة یافته از آستینیت و مقداری دوقلویی	-	-	Laser Welding	نورد-برش- سوراخکاری

نتایج شناسایی صفحه پاشش در جدول ۱۹-۳ فراهم شده است. ترکیب شیمیایی ورق با انجام آنالیز شیمیایی توسط کوانتمتر به شرح جدول ۲۰-۳ به دست آمده است. با توجه به ترکیب شیمیایی زیر جنس ورق از فولاد زنگ نزن آستینیتی ۳۰۴ می باشد.

جدول ۲۰-۳: نتایج آنالیز شیمیایی صفحه پاشش

Fe	C	Si	Mn	P	S	Cr	Ni	Mo
Base	0.0762	0.333	0.885	0.0382	0.0088	18.3	8.5	0.0501
Al	Co	Cu	Nb	Ti	V	W	Pb	Sn
0.008	0.233	0.284	0.0093	0.0016	0.11	0.0074	0.0008	0.0055
Ca	Ta	B	---	---	---	---	---	---
0.0016	0.0115	0.0033	---	---	---	---	---	---



جهاز اکادمی سنتی مری

طرح فناورانه انژکتور

معاونت پژوهشی سازمان

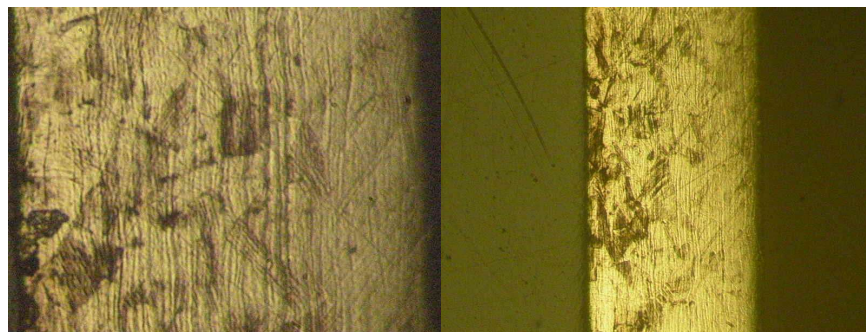
نام فایل سند	عنوان سند	صفحه	بازنگری
شناسایی انژکتورهای موجود	شناسایی انژکتورهای موجود	۱۶۱ از ۸۸	۳

❖ سختی ❖

میزان سختی اندازه‌گیری شده به کمک دستگاه میکروسختی و با نیروی ۳۰۰ گرم از سطح مقطع نمونه ۳۱۳ ویکرز است. سختی ناحیه جوش این ورق به نشیمنگاه سوزن ۲۳۶ ویکرز اندازه‌گیری شده است.

❖ ریزساختار ❖

شامل آستنیت و مارتزیت استحاله یافته از آستنیت و مقداری دوقلویی همراه با آثار کار مکانیکی است.



شکل ۲۷-۳: تصاویر ریزساختار صفحه پاشش در بزرگنمایی‌های ۱۰۰ و ۲۵۰ برابر

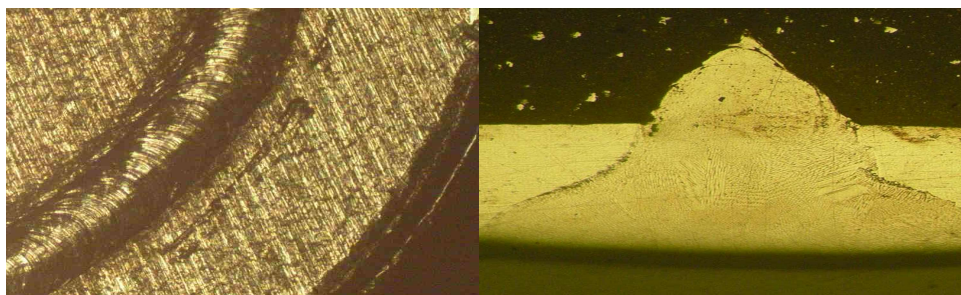
۱۲-۲-۳ اتصال نشیمنگاه سوزن و صفحه پاشش

❖ جنس و ریز ساختار ❖

جوش صفحه پاشش به محفظه با استفاده از سیستم EPMA میکروسکوپ الکترونی روبشی به شرح جدول ۲۱-۳ آنالیز گردید.

جدول ۲۱-۳: نتایج آنالیز جوش صفحه پاشش به محفظه

Fe	Cr	Ni	Mn	Si
Base	16	6	0.5	≤ 0.3



شکل ۲۸-۳: تصاویر جوش صفحه پاشش (پولک ساده) به محفظه در بزرگنمایی‌های ۱۰۰ و ۲۵ برابر (تصویر از روی)



جهازهایی سختی ریز

طرح فناورانه انژکتور

معاونت پژوهشی سازمان

نام فایل سند	عنوان سند	صفحه	بازنگری
شناسایی انژکتورهای موجود	شناسایی انژکتورهای موجود	۱۶۱ از ۱۸۹	۳

۱۳-۲-۳ لوله راهنمای فنر



شکل ۳: تصاویر لوله راهنمای فنر

❖ نتایج شناسایی خواص و جنس ❖

جدول ۳-۲: نتایج شناسایی لوله راهنمای فنر

روش تولید	نوع اتصال	سیکل عملیات حرارتی	پوشش	ریزساختار	سختی HV _{0.3}	جنس
کشش برش	Seam Resistance Welding	آنیل	-	زنگ نزن فریتی با اندازه دانه 7 و ذرات ریز کاربید کروم ASTM	۱۸۰	405

ترکیب شیمیایی لوله راهنمای فنر با انجام آنالیز شیمیایی توسط کوانتمتر به شرح جدول ۳-۲ به دست آمده است؛ با توجه به ترکیب شیمیایی زیر نمونه از جنس فولاد زنگ نزن فریتی ۴۰۵ می‌باشد.

جدول ۳-۳: نتایج آنالیز شیمیایی لوله راهنمای فنر

Fe	C	Si	Mn	P	S	Cr	Ni	Mo
Base	0.0533	1.55	0.263	0.0269	0.0253	14.3	0.183	0.177
Al	Co	Cu	Nb	Ti	V	W	Pb	Sn
0.0031	0.0293	0.0297	0.004	0.00088	0.0986	0.0024	0.0028	0.0025
Ca	Ta	B	---	---	---	---	---	---
0.0016	0.0106	0.0015	---	---	---	---	---	---

❖ سختی ❖

میزان سختی اندازه‌گیری شده به کمک دستگاه میکروسختی و با نیروی ۳۰۰ گرم از سطح مقطع ۱۸۰ ویکرز است.



جامعة شهروود
دانشگاه

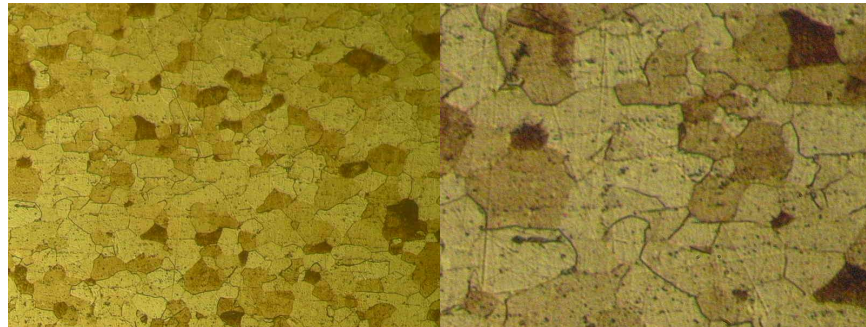
طرح فناورانه انژکتور

معاونت پژوهشی سازمان

نام فایل سند	عنوان سند	صفحه	بازنگری
شناسایی انژکتورهای موجود	شناسایی انژکتورهای موجود	۱۶۱ از ۹۰	۳

❖ ریزساختار

شامل فریت با متوسط اندازه دانه ۷ ASTM به همراه ذرات ریز کاربید کروم است.



شکل ۳۰-۳: تصاویر لوله راهنمای فنر در بزرگنمایی‌های ۲۵ و ۱۰۰ برابر

۱۴-۲-۳ اتصال لوله راهنمای فنر به لوله اصلی

❖ جنس و ساختار

این لوله در فاصله معینی از داخل لوله اصلی با استفاده از جوش لیزر به طول حدود $\frac{3}{5}$ میلیمتر جوش داده می‌شود.



شکل ۳۱-۳: تصویر جوش لیزر لوله راهنمای فنر به لوله اصلی در سه ناحیه به فواصل یکسان و طول $\frac{3}{4}$ میلیمتر

۱۵-۲-۳ بوش چاک دار



شکل ۳۲-۳: تصویر بوش چاکدار



جهاز اکادمی سنتی مری

طرح فناورانه انژکتور

معاونت پژوهشی سازمان

نام فایل سند	عنوان سند	صفحه	بازنگری
شناسایی انژکتورهای موجود	شناسایی انژکتورهای موجود	۱۶۱ از ۹۱	۳

❖ نتایج شناسایی خواص و جنس

جدول ۳-۲۴: نتایج شناسایی بوش چاکدار

روش تولید	نوع اتصال	سیکل عملیات حرارتی	پوشش	ریزساختار	سختی HV _{0.3}	جنس
کشش-کوبش-برش	پرس	-	-	زنگ نزن آستینیتی با اندازه دانه ۹ ASTM	۲۱۵ دو انتهای ۳۵۹ و ۴۰۵	304

ترکیب شیمیایی بوش چاکدار با انجام آنالیز شیمیایی توسط کوانتمتر به شرح جدول ۳-۲۵ به دست آمده است. با توجه به ترکیب شیمیایی فوق نمونه از جنس فولاد زنگ نزن آستینیتی ۳۰۴ می‌باشد.

جدول ۳-۲۵: نتایج آنالیز شیمیایی بوش چاکدار

Fe	C	Si	Mn	P	S	Cr	Ni	Mo
Base	0.0523	0.449	1.11	0.0309	0.0085	18.37	8.14	0.0456
Al	Co	Cu	Nb	Ti	V	W	Pb	Sn
0.0074	0.272	0.0892	0.0117	0.004	0.124	0.0055	0.0027	0.0063
Ca	Ta	B	---	---	---	---	---	---
0.0018	0.0117	0.0038	---	---	---	---	---	---

❖ سختی

میزان سختی اندازه‌گیری شده به کمک دستگاه میکروسختی و با نیروی ۳۰۰ گرم از سطح مقطع نمونه ۲۱۵ ویکرز است. دو لوله پرس شده و تغییر قطر پیدا کرده است لذا ریزساختار این دو ناحیه به مارتزیت استحاله یافته و میزان سختی در دو سر لوله ۳۵۹ و ۴۰۰ ویکرز اندازه‌گیری شد.

❖ ریزساختار

شامل آستینیت و مارتزیت استحاله یافته از آستینیت با متوسط اندازه دانه ۹ ASTM و مقداری دوقلویی همراه با آثار کار مکانیکی و مقداری ذرات ریز کاربید کروم است. در دو سر لوله به دلیل میزان بیشتر کار سرد انجام شده حجم مارتزیت استحاله یافته از آستینیت بسیار زیاد است (تصاویر زیر در بزرگنمایی ۱۰۰ برابر).

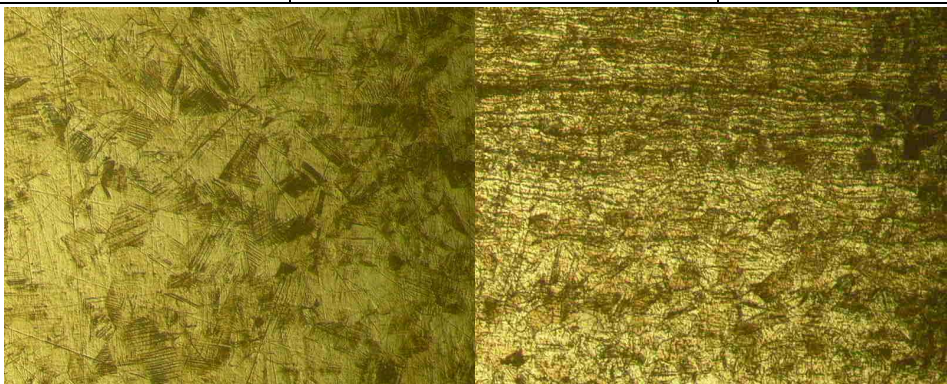


جهازهایی مخصوص
جهاد دانشگاهی

طرح فناورانه انژکتور

معاونت پژوهشی سازمان

صفحه	بازنگری	عنوان سند	نام فایل سند
۳	۱۶۱ از ۹۲	شناسایی انژکتورهای موجود	شناسایی انژکتورهای موجود



شکل ۳-۳: ریزساختار نواحی مرکزی بوش چاکدار (تصویر راست) و لبه‌های نمونه (تصویر چپ) در بزرگنمایی ۱۰۰

۱۶-۲-۳ اورینگ بالا (مشکی) و پایین (سبز)

❖ نتایج شناسایی خواص و جنس

جدول ۳-۲۶: نتایج شناسایی اورینگ بالا (سبز)

روش تولید	نوع اتصال	سیکل عملیات حرارتی	پوشش	ریزساختار	سختی HV _{0.3}	جنس
-	-	-	-	-	74 Shore A	وایتون

جدول ۳-۲۷: نتایج شناسایی اورینگ پایین (مشکی)

روش تولید	نوع اتصال	سیکل عملیات حرارتی	پوشش	ریزساختار	سختی HV _{0.3}	جنس
-	-	-	-	-	72 Shore A	وایتون

جنس هر دو اورینگ، طبق اطلاعات جدول ۳-۲۶ و جدول ۳-۲۷-۳ وایتون می‌باشد.

۱۷-۲-۳ اتصال نشیمنگاه به لوله اصلی

جدول ۳-۲۸: نتایج آنالیز شیمیایی اتصال نشیمنگاه به لوله اصلی

Fe	Cr	Ni	Mn	Si
Base	16-17	5-6	0.5	≤ 0.3



جامعة شهروود
دانشگاه

طرح فناورانه انژکتور

معاونت پژوهشی سازمان

صفحه	بازنگری	عنوان سند	نام فایل سند
۳	۱۶۱ از ۹۳	شناسایی انژکتورهای موجود	شناسایی انژکتورهای موجود

❖ سختی و جنس

سختی جوش نشیمنگاه به لوله ۳۲۶ ویکرز اندازه‌گیری شده است. این قطعه از بالا به لوله اصلی توسط جوش لیزر جوش داده شده به نحوی که اختلاف قطر خارجی مابین این قطعه و لوله اصلی مشهود نیست و به پایین آن ورق نازکی که سوراخهای پاشش بر روی آن تعییه شده با جوش لیزر متصل شده است. این اتصالات جوش در تصاویر زیر نشان داده شده است:



شکل ۳-۳۴: تصاویر جوش محفوظه به لوله اصلی در بزرگنمایی‌های ۲۵ و ۵۰ برابر

۳-۳ آنالیز مواد انژکتور زیتک

هر یک از بخش‌ها و اجزای انژکتور زیتک مورد آنالیز قرار گرفته و نتایج در جداول زیر فراهم شده‌اند.

۱-۳-۳ پوسته سیم پیچ

بر اساس آنالیز انجام شده جدول ۳-۲۹، جنس پوسته سیم پیچ AISI 430F می‌باشد.

جدول ۳-۲۹: نتایج آنالیز شیمیایی پوسته سیم پیچ-انژکتور زیتک

Fe	C	Si	Mn	P	S	Cr	Ni	Mo
80.4	0.132	0.638	1.22	<0.0030	0.0423	16.9	0.328	0.0638
Al	Co	Cu	Nb	Ti	V	W	Pb	
0.0057	0.0218	0.0448	<0.0020	0.0080	0.0796	0.0547	0.0077	



جامعة شهروود
دانشگاه

طرح فناورانه انژکتور

معاونت پژوهشی سازمان

نام فایل سند	عنوان سند	صفحه	بازنگری
شناسایی انژکتورهای موجود	شناسایی انژکتورهای موجود	۱۶۱ از ۹۴	۳

۲-۳-۲ سیم پیچ

نتایج بر اساس تست استاندارد ICP در جدول ۳-۳۰ گزارش شده‌اند.

جدول ۳-۳۰: نتایج آنالیز شیمیایی سیم پیچ-انژکتور زینک

Fe	Cr	As	Ni	Mn	Si	Ag
<0.01	<0.01	<0.01	<0.01	<0.01	<0.01	<0.01
Cd	Cu	Zn	Sn	Pb	Al	
<0.01	Base	<0.01	0.25	<0.01	<0.01	

۳-۳-۳ ترمینال ها

طبق نتایج آنالیز فراهم شده در جدول ۳-۳۱ و جدول ۳-۳۲ ، ترمینال راست و چپ از جنس UNS C51000 می‌باشد.

جدول ۳-۳۱: نتایج آنالیز شیمیایی ترمینال چپ-انژکتور زینک

Cu	Zn	Pb	Sn	P	Mn	Fe	Ni	Si
93.7	<0.0075	0.0155	6.06	0.0833	<0.0020	0.0053	0.0063	<0.0050
Mg	Cr	Al	S	As	Be	Ag	Co	Bi
0.0009	<0.0010	<0.0020	<0.0020	<0.0010	<0.0050	0.0153	0.0729	<0.0005
Cd	Sb	Zr	-	-	-	-	-	-
<0.0005	<0.0050	<0.0020	-	-	-	-	-	-

جدول ۳-۳۲: نتایج آنالیز شیمیایی ترمینال راست-انژکتور زینک

Cu	Zn	Pb	Sn	P	Mn	Fe	Ni	Si
93.4	<0.0075	0.0116	6.36	0.0843	<0.0020	0.0050	0.0050	<0.0050
Mg	Cr	Al	S	As	Be	Ag	Co	Bi
0.0009	<0.0010	<0.0020	<0.0020	<0.0010	<0.0050	0.0081	0.0728	<0.0005
Cd	Sb	Zr	-	-	-	-	-	-
<0.0005	<0.0050	<0.0020	-	-	-	-	-	-

۴-۳-۳ لوله اصلی

لوله اصلی در این طراحی دو بخش است. نتایج شناسایی مربوط به هر دو بخش در جدول ۳-۳۳ و جدول ۳-۳۴ فراهم شده است. طبق نتایج به دست آمده، لوله ورودی بر اساس AISI 304 می‌باشد. جنس لوله رابطه بر اساس نتایج به دست آمده 430F می‌باشد.



طرح فناورانه انژکتور

معاونت پژوهشی سازمان

جهازهای صنعتی

صفحه	بازنگری	عنوان سند	نام فایل سند
۳	۹۵ از ۱۶۱	شناسایی انژکتورهای موجود	شناسایی آنالیز شیمیایی لوله ورودی - انژکتور زینک

جدول ۳-۳: نتایج آنالیز شیمیایی لوله ورودی - انژکتور زینک

Fe	C	Si	Mn	P	S	Cr	Ni	Mo
Base	0.0763	0.264	2.17	<0.0030	>0.0600	17.9	8.93	0.225
Al	Co	Cu	Nb	Ti	V	W		
0.0104	0.130	2.69	0.0111	0.0026	0.0867	0.0590		

جدول ۳-۴: نتایج آنالیز شیمیایی لوله رابط - انژکتور زینک

Fe	C	Si	Mn	P	S	Cr	Ni	Mo
80.5	0.0159	0.335	1.21	<0.0030	>0.0600	16.7	0.498	0.153
Al	Co	Cu	Nb	Ti	V	W		
0.0094	0.0235	0.111	0.0126	0.0068	0.0613	0.0646		

۵-۳-۳ حلقه دور لوله اصلی

طبق آزمایشات انجام شده و نتایج به دست آمده در جدول ۳-۵، حلقه دور لوله اصلی از جنس F 430 بوده و دارای سختی 168 Hv 0.30 می باشد.

جدول ۳-۵: نتایج آنالیز شیمیایی حلقه دور لوله اصلی - انژکتور زینک

Fe	C	Si	Mn	P	S	Cr	Ni	Mo
81.6	0.0647	0.295	0.356	<0.0030	<0.0050	17.2	0.108	0.0472
Al	Co	Cu	Nb	Ti	V	W		
0.0063	0.0202	0.0273	<0.0020	0.0066	0.0945	0.0200		

۶-۳-۳ بدنه سوزن

طبق نتایج به دست آمده در جدول ۳-۶، بدنه سوزن از جنس F 430 می باشد.

جدول ۳-۶: نتایج آنالیز شیمیایی بدنه سوزن - انژکتور زینک

Fe	C	Si	Mn	P	S	Cr	Ni	Mo
84.4	0.0264	0.700	0.287	<0.0030	<0.0050	13.6	0.165	0.204
Al	Co	Cu	Nb	Ti	V	W		
0.346	0.0185	0.108	0.0068	0.0065	0.0628	0.0361		



جهازهای شناسی سری

طرح فناورانه انژکتور

معاونت پژوهشی سازمان

صفحه	بازنگری	عنوان سند	نام فایل سند
۳	۹۶ از ۱۶۱	شناسایی انژکتورهای موجود	شناسایی انژکتورهای موجود

۷-۳-۳ ساقمه سوزن

طبق آزمایش‌های انجام شده و نتایج جدول ۳-۷، ساقمه سوزن از جنس C 440 می‌باشد. همچنین، سختی متوسط آن با بار اعمالی ۱۰۰ گرم و زمان نشت نیروی ۱۰ ثانیه، برابر با 1239.7 Hv می‌باشد.

جدول ۳-۷: نتایج آنالیز شیمیایی ساقمه سوزن-انژکتور زیستک

Fe (%)	Cr (%)	Mn (%)	Mo (%)	Cu (%)	Ni (%)	Ti (%)
Base	19.3	0.7	<0.05	<0.05	0.9	0.3

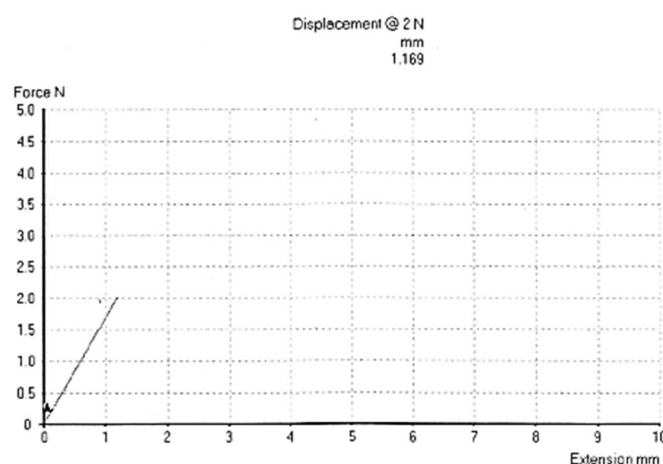
۸-۳-۳ فنر

طبق نتایج به دست آمده در جدول ۳-۸، فنر از جنس فولاد ضدزنگ آستنیتی می‌باشد.

جدول ۳-۸: نتایج آنالیز شیمیایی فنر-انژکتور زیستک

Fe (%)	Cr (%)	Mn (%)	Mo (%)	Cu (%)	Ni (%)	Ti (%)
Base	19.0	<0.05	1.5	<0.05	8.4	0.6

همچنین، در اثر اعمال نیروی اولیه ۰.۲ نیوتن، ثابت فنر برابر با 1.7 N/mm اندازه‌گیری شد. نمودار جابجایی-نیرو در شکل ۳-۵ مشاهده می‌شود.



شکل ۳-۵: نمودار جابجایی-نیرو جهت اندازه‌گیری ثابت فنر



جهازهای شناسی

طرح فناورانه انژکتور

معاونت پژوهشی سازمان

صفحه	بازنگری	عنوان سند	نام فایل سند
۳	۱۶۱ از ۹۷	شناسایی انژکتورهای موجود	شناسایی انژکتورهای موجود

۹-۳-۳ نشیمنگاه سوزن

طبق نتایج به دست آمده در جدول ۳-۹، نشیمنگاه سوزن از جنس AISI 304 می‌باشد. همچنین، صافی سطح آن برای سطوح داخلی برابر با ۰.۲۰ میکرومتر و برای سطوح خارجی برابر با ۰.۴۵ میکرومتر می‌باشد.

جدول ۳-۹: نتایج آنالیز شیمیایی نشیمنگاه سوزن-انژکتور زیتک

Fe (%)	Cr (%)	Mn (%)	Mo (%)	Cu (%)	Ni (%)	Ti (%)
Base	17.5	<0.05	1.0	0.5	8.7	0.4

۱۰-۳-۳ صفحه پاشش

طبق نتایج به دست آمده در جدول ۳-۱۰، صفحه پاشش از جنس AISI 304 می‌باشد.

جدول ۳-۱۰: نتایج آنالیز شیمیایی صفحه پاشش-انژکتور زیتک

Fe (%)	Cr (%)	Mn (%)	Mo (%)	Cu (%)	Ni (%)	Ti (%)
Base	17.51	0.3	<0.05	<0.05	10	0.2

۱۱-۳-۳ بوش چاکدار

طبق نتایج به دست آمده در جدول ۳-۱۱، بوش چاکدار از جنس AISI 304 می‌باشد

جدول ۳-۱۱: نتایج آنالیز شیمیایی بوش چاکدار- انژکتور زیتک

Fe	C	Si	Mn	P	S	Cr	Ni	Mo
70.8	0.0383	0.413	1.07	<0.0030	<0.0050	18.8	7.98	0.146
Al	Co	Cu	Nb	Ti	V	W		
0.0883	0.192	0.253	0.0039	0.0189	0.0752	<0.0200		

۱۲-۳-۳ اورینگ

بر اساس تست‌های انجام شده برای شناسایی پایه پلیمر، جنس اورینگ بالا و اورینگ پایین بر پایه فلورو الاستومر (وايتون) می‌باشد.



جهازهایی مخصوص
جهاد دانشگاهی

طرح فناورانه انژکتور

معاونت پژوهشی سازمان

صفحه	بازنگری	عنوان سند	نام فایل سند
۳	۱۶۱ از ۹۸	شناسایی انژکتورهای موجود	شناسایی انژکتورهای موجود

۴-۳ مقایسه آنالیز مواد برای انژکتور زیتک و سولارگروپ

در جدول زیر، آنالیز مواد برای اجزای انژکتور زیتک و سولارگروپ (طرح زیمنسی) انجام گرفته و مورد مقایسه قرار گرفته است.

جدول ۴-۲: مقایسه آنالیز مواد برای انژکتور زیتک و سولارگروپ (طرح زیمنس)

سولار گروپ		زیتک		مشخصه
سختی ($HV_{0.3}$)	جنس	سختی ($HV_{0.1}$)	جنس	
215	416	-	430	پوسته سیم پیچ
76	C10300	-	CU	سیم پیچ
124	C10300	-	C51000	ترمینال‌ها
365	304		coupling) 430 F (tube	لوله اصلی
			(inlet) 340/316	
102	Ck5	168	430F	حلقه دور لوله اصلی
155	410	-	430F	بدنه سوزن
642	440C	1239.7	440 C	ساقمه سوزن
565	304	-	فولاد ضدزنگ آستانی	فرنر
508	440C	(0.20 (داخلی) (0.45 (خارجی)	321/316 L	نشیمنگاه سوزن
313	304	-	304	صفحه پاشش
180	405	-	304/316	لوله راهنمای فرنر
215* دو انتهای 359 و 450	304	-	304	لوله فرنری
74	Viton	70± 2	Viton	اورینگ

در جدول فوق، مقایسه بین انژکتورهای زیتک و سولارگروپ فراهم شده است. همان‌گونه که مشاهده می‌شود، جنس اجزای مختلف در هر دو انژکتور، تقریباً نزدیک به هم و از نوع یکسانی انتخاب شده است و خواص مکانیکی نسبتاً



طرح فناورانه انژکتور

معاونت پژوهشی سازمان

صفحه	بازنگری	عنوان سند	نام فایل سند
۳	۱۶۱ از ۹۹	شناسایی انژکتورهای موجود	شناسایی انژکتورهای موجود

مشابهی دارند. برای مثال، در هر دو انژکتور موردنظر، جنس پوسته سیم پیچ از فولادهای ضد زنگ با گریدهای متفاوت (۴۳۰ برای انژکتور زیتک و ۴۱۶ برای انژکتور سولار گروپ) انتخاب شده است که هر دو آلیاژ فولادی، خاصیت ماشینکاری خوبی دارند. همچنین، در انژکتور زیتک از فولاد ضدزنگ ۴۳۰ و در انژکتور سولار گروپ از فولاد ضدزنگ ۴۱۰ برای بدنه سوزن استفاده شده است که مشخصه اصلی این جنس‌ها، خاصیت مقاومت به خوردگی خوب می‌باشد. جنس ساقمه نیز در هر دو انژکتور از جنس فولاد ۴۴۰ انتخاب شده است. فولادهای زنگ نزن گرید ۴۴۰ فولادهای با کربن بالا هستند که پس از عملیات حرارتی به بالاترین سختی، مقاومت در برابر سایش و استحکام نسبت به تمام گریدهای فولاد ضدزنگ می‌رسند و برای کاربرد موردنظر در انژکتور، مناسب‌ترین گزینه می‌باشند. برای صفحه پاشش نیز در هر دو انژکتور از گروه فولادهای ضدزنگ آستینیتی استفاده شده است. با مقایسه آنالیز شیمیایی انژکتورهای مختلف، می‌توان گزینه مناسب از نظر فنی، قیمت و دسترسی‌پذیری را برای ساخت اجزای مختلف انژکتور، انتخاب نمود.

۵-۳ آنالیز قطعات اصلی برای تمامی انژکتورها

در این قسمت، آنالیز قطعات اصلی و حساس که شامل قطعات بخش انتهایی لوله اصلی، سوزن انژکتور، ساقمه، نشیمنگاه و صفحه پاشش می‌باشد، برای تمامی انژکتورهای مورد بررسی انجام شده و نتایج آن در جداول مربوطه ارائه می‌شود.

۱-۵-۳ آنالیز بخش انتهایی لوله اصلی

نتایج آنالیز برای لوله اصلی طبق جدول ۳-۴۳، ارائه شده است. نوع آزمون انجام شده برای تعیین آنالیز شیمیایی، آزمون کوانتمتری می‌باشد. با توجه به جدول فوق، جنس بدنه اصلی در تمامی موارد به جز انژکتور سایپا یدک و همچنین لوله رابط انژکتور زیتک، از جنس فولاد ضدزنگ ۳۰۴ می‌باشد. این آلیاژ از جنس آلیاژهای استینیتی بوده و در معرض میدان مغناطیسی خاصیت آهنربایی پیدا می‌کند. همچنین، دارای ترکیبی عالی از استحکام، مقاومت در برابر خوردگی و قابلیت ساخت است. و به دلیل قیمت، مناسب‌تر نسبت به دیگر آلیاژهای فولاد، انتخاب مناسبی برای بدنه می‌باشد.



جامعة شهروود
دانشگاه

طرح فناورانه انژکتور

معاونت پژوهشی سازمان

نام فایل سند	عنوان سند	صفحه	بازبینگری
شناسایی انژکتورهای موجود	شناسایی انژکتورهای موجود	۱۶۱ از ۱۰۰	۳

جدول ۳-۴: نتایج آنالیز شیمیایی بخش انتهایی لوله اصلی برای تمامی انژکتورها

ونثرو	سایپايدک	دكا	زيتك	ليوژو	سولارگروب	جنس
304	420	-	304	304	304	Fe
Base	Base	-	Base	Base	Base	C
0.0642	0.2180	-	0.0433	0.0546	0.0668	Si
0.4080	0.4240	-	0.4050	0.4740	0.3660	Mn
1.0500	0.7180	-	0.956	1.4700	1.1400	P
0.0265	0.0289	-	0.0292	0.0301	0.0291	S
0.0054	0.0023	-	0.0029	0.0284	0.0054	Cr
18.640	13.330	-	19.150	19.480	18.400	Ni
7.9800	0.1740	-	7.9300	7.9900	8.3000	Mo
0.1440	0.0239	-	0.1180	0.1720	0.0368	Al
0.0121	0.0049	-	0.0093	0.0090	0.0088	Co
0.2560	0.0676	-	0.2570	0.2370	0.2510	Cu
0.2290	0.0602	-	0.1760	0.5690	0.2540	Nb
0.0219	0.0159	-	0.0183	0.0224	0.0118	Ti
0.0066	0.0055	-	0.0046	0.0057	0.0065	V
0.0818	0.0704	-	0.0898	0.0904	0.0979	W
0.0021	<0.0005	-	0.0048	0.0128	<0.0005	Pb
<0.0002	<0.0002	-	<0.0002	<0.0002	0.0057	Sn
0.0073	0.0048	-	0.0067	0.01778	0.0021	Ca
0.0053	0.0009	-	0.0017	0.00064	0.0019	Ta
<0.0010	<0.0010	-	<0.0010	0.0015	0.0042	B
0.00085	0.00036	-	0.00013	0.0015	0.0018	

۲-۵-۳ آنالیز سوزن انژکتور

نتایج آنالیز برای لوله اصلی طبق جدول ۳-۴، ارائه شده است. نوع آزمون سیستم EMPA میکروسکوپ الکترونی مروری (SEM) میباشد. لازم به ذکر است با توجه به محدودیت دستگاه، تنها عناصر سنگین تر از آلومینیوم و در مقدادر بیش از ۰.۳ درصد وزنی قابل اندازه گیری میباشند. با توجه به جدول زیر، آلیاژهای فولادی ۴۰۰ عموما در ساخت بدنه سوزن انژکتور در نمونه ها به کار رفته اند. فولادهای زنگ نزن گردید ۴۴۰ فولادهای ضد زنگ مارتزیتی با کربن بالا هستند که پس از عملیات حرارتی به بالاترین سختی، مقاومت در برابر سایش و استحکام نسبت به تمام گریدهای فولاد ضد زنگ میرسند.



جهازهایی مسقیمه

طرح فناورانه انژکتور

معاونت پژوهشی سازمان

صفحه	بازنگری	عنوان سند	نام فایل سند
۳	۱۰۱ از ۱۶۱	شناسایی انژکتورهای موجود	شناسایی آنالیز شیمیایی سوزن انژکتور برای تمامی انژکتورها

جدول ۳-۴: نتایج آنالیز شیمیایی سوزن انژکتور برای تمامی انژکتورها

وینزو	ساپیايدک	دكا	زيتك	ليورو	سولارگروپ	
440 C	۹	440 C	440 C	440 C	410	جنس
Base	Base	Base	Base	Base	Base	Fe
<0.3	<0.3	<0.3	<0.3	<0.3	0.3	Si
<0.5	~1	<0.5	<0.5	<0.5	<0.5	Mn
-	-	-	-	-	-	Ni
~18	-	~18	17-18	~17	10-12	Cr
-	-	-	-	-	-	Mo
-	-	-	-	-	-	Co
-	-	-	-	-	-	Si
-	-	-	-	-	-	P
-	-	-	-	-	-	S
-	-	-	-	-	-	Sn
-	-	-	-	-	-	Zn

۳-۵-۳ آنالیز ساچمه

نتایج آنالیز برای لوله اصلی طبق جدول ۳-۴۵، ارائه شده است. نوع آزمون ، سیستم EMPA میکروسکوپ الکترونی مروری (SEM) می باشد. با توجه به جدول زیر، جنس ساچمه در تمامی نمونه ها، آلیاژ فولادی 440c می باشد.

جدول ۳-۵: نتایج آنالیز شیمیایی ساچمه برای تمامی انژکتورها

وینزو	ساپیايدک	دكا	زيتك	ليورو	سولارگروپ	
440c	440c	440c	440c	440c	440c	جنس
Base	Base	Base	Base	Base	Base	Fe
<0.3	<0.3	<0.3	<0.3	<0.3	0.3	Si
<0.5	<0.5	<0.5	~0.5	<0.5	<0.5	Mn
-	-	-	-	-	-	Ni
~18	~18	~18	~18	~18	18-19	Cr
-	-	-	-	-	-	Mo
-	-	-	-	-	-	Co
-	-	-	-	-	-	Si
-	-	-	-	-	-	P
-	-	-	-	-	-	S
-	-	-	-	-	-	Sn
-	-	-	-	-	-	Zn



جامعة شهروود
دانشگاه

طرح فناورانه انژکتور

معاونت پژوهشی سازمان

صفحه	بازنگری	عنوان سند	نام فایل سند
۳	۱۰۲ از ۱۶۱	شناسایی انژکتورهای موجود	شناسایی انژکتورهای موجود

۴-۵-۳ آنالیز نشیمنگاه

نتایج آنالیز برای لوله اصلی طبق جدول ۳، ۴۶-۳، ارائه شده است. نوع آزمون انجام شده، سیستم EMPA میکروسکوپ الکترونی مروری (SEM) می‌باشد. طبق اطلاعات ذکر شده در این جدول، آلیاژ فولادی 440c یا 304، گزینه انتخابی تولیدکنندگان نشیمنگاه انژکتور، به دلیل خواص موردنیاز می‌باشد.

جدول ۴-۳: نتایج آنالیز شیمیایی نشیمنگاه برای تمامی انژکتورها

جنس	سوپرگروپ	لیورو	زینک	دکا	سایپايدک	ونترو
Fe	440c	440c	304	440c	304	304
Si	0.391	<0.3	<0.3	Base	Base	<0.3
Mn	2.97	~0.5	~0.05	~0.5	~1	<0.5
Ni	-	8.7	7-8	-	6-7	~1
Cr	17.64	16-17	17.5	~17	16-17	Base
Mo	-	-	1	-	-	-
Co	-	-	-	-	-	-
Si	-	-	-	-	-	-
P	-	-	-	-	-	-
S	-	-	-	-	-	-
Sn	-	-	-	-	-	-
Zn	-	-	-	-	-	-

۵-۵-۳ آنالیز صفحه پاشش

نتایج آنالیز برای لوله اصلی طبق جدول ۳، ۴۷-۳، ارائه شده است. نوع آزمون انجام شده، سیستم EMPA میکروسکوپ الکترونی مروری (SEM) می‌باشد. با توجه به ترکیب شیمیایی زیر جنس صفحات پاشش، ورق فولاد زنگ نزن آستانیتی 304 می‌باشد. جوش‌پذیری و مقاومت در برابر خوردگی پس از جوش، از ویژگی‌های مطلوب این آلیاژ می‌باشد.



جهازهای
دانشگاهی
نمایشی

طرح فناورانه انژکتور

معاونت پژوهشی سازمان

صفحه	بازنگری	عنوان سند	نام فایل سند
۳	۱۰۳ از ۱۶۱	شناسایی انژکتورهای موجود	شناسایی انژکتورهای موجود

جدول ۳-۷: نتایج آنالیز شیمیایی صفحه پاشش برای تمامی انژکتورها

ونزو	ساپایادک	دکا	زینک	لیوژو	سولارگروپ	
304	304	304	304	304	304	جنس
Base	Base	Base	Base	Base	Base	Fe
<0.3	<0.3	<0.3	<0.3	<0.3	0.333	Si
<0.5	0.5-1	<0.5	<0.5	<0.5	0.885	Mn
6-7	6-7	6-7	10	6-7	8.5	Ni
~17	16-17	~17	~17	~17	18.3	Cr
-	-	-	-	-	0.0501	Mo
-	-	-	-	-	0.2330	Co
-	-	-	-	-	0.0382	P
-	-	-	-	-	0.0088	S
-	-	-	-	-	0.0055	Sn
-	-	-	-	-	0.0762	C
-	-	-	-	-	0.0080	Al
-	-	-	-	-	0.2840	Cu
-	-	-	-	-	0.0093	Nb
-	-	-	-	-	0.0016	Ti